

스프레이식 고점착 변성 고무 아스팔트 도막 방수재의 현장 적용성 평가에 관한 실험적 연구

A Study on the Field Application Analysis for High Adhesive Spray Type of Degenerated and Rubberized Asphalt Membrane Material

오상근*

Oh, Sang-Keun

곽규성**

Kwak, Kyu-Sung

최성민***

Choi, Sung-Min

송제영****

Song, Je-Young

Abstract

Urethane, epoxy, acrylic have common property to adhere on the concrete dried surface in the waterproofing materials at present. In the wet condition, however, the materials such as urethane, epoxy, acrylic need a long hardening time and it become a reason of water leakage as the materials breaking down. It is one of the problem to adhere to the substrate.

Therefore, in this thesis, I focused to assure the structural safety and durability and quality for waterproofing and safe of construction cost by cut down the cost of labor and reduce the term of works as searching the application of field condition for high adhesive spray type of degenerated and rubberized asphalt membrane material.

키워드 : 스프레이식, 고점착, 변성 고무 아스팔트 도막방수재, 수중유실저항성능, 저온 굽힘 저항성능

Keywords : Spray type, High adhesive, Rubberized asphalt membrane material, Washed out Resistance Water, Bending Resistance in Low Temperanture

1. 서 론

지금까지의 콘크리트 구조물 지하 방수에 있어서 주로 사용된 방수공법으로는, 아스팔트계, 가황고무계, 점착형시트재, 벤토나이트계 매트 등 시트계 방수재를 이용한 외 방수공법과 시멘트 액상형 방수재 및 규산질계 분말형 도포 방수재를 사용하는 내 방수공법이 있다.

그러나 시공과정에서 시트 방수공법은 조인트 부분에 대한 시공품질확보와 누수발생시 하자발생에 따른 치유가 어려우며, 시멘트계 방수재의 경우 콘크리트 균열 발생시 방수층이 함께 파단되는 등 구조물의 거동에 취약하다는 점, 시공 후 경화 또는 건조공정이 요구되어져 공기가 길어진다는 등의 문제점이 나타나고 있다.

특히 부착성능 확보를 위한 시공관리 부족으로 탈락, 박리 등의 결함이 빈번하게 발생되고 있다.

따라서, 이러한 시트계 및 시멘트계에 대한 대체공법으로 고무 아스팔트계 도막 방수공법이 검토 사용되고 있는데, 이 방수공법의 경우 대규모 지하 콘크리트 구조체에 적용시 로울러 및 흙손으로 방수층을 형성시키므로 방수층의 일정한 도막두께 확보(품질확보)가 어렵고, 공기가 길어진다는 문제점과 신

너와 같은 용제의 사용으로 인하여 지하의 밀폐된 공간에서 시공이 어려운 문제점을 안고 있다.

이에 본 연구에서는 기존의 방수공법의 문제점인 시트재의 조인트 부분의 품질확보 및 시멘트계의 구조물 거동에 의한 방수층 파단, 고무 아스팔트계 도막 방수재의 공사기간 단축과 용제 사용에 따른 시공성 개선을 위해 고성능 스프레이식 도막 방수재의 실험적 연구를 통하여 현장 적용성 여부를 평가하고자 한다.



사진 1. 지하구조물의 누수현황

2. 기존 지하 방수공법의 문제점 분석

2.1 균열 및 거동에 따른 방수층 파단

콘크리트 구조물에서의 방수층 형성시 구조체는 외부 환경에 따른 온도변화로 수축 팽창이 일어나며, 이로 인한 구조물 거동에 따른 균열발생은 방수층의 파단으로 이어져 누수가 일어난다.

* 정회원, 서울산업대학교 건축학부 교수, 공학박사

** 정회원, 비케이방수기술연구소 소장

*** 정회원, 건설신소재응용평가연구소 소장

**** 정회원, 비케이방수기술연구소 연구원

2.2 수작업 및 양생기간에 따른 공기지연

방수재 도포 시공시 그 시공방법에 있어 롤러나 흙손의 사용으로 시공 면적이 넓은 대단위 방수공사일 경우 단위면적당 요구되어지는 시간이 길어 방수 시공시 많은 시간이 소요되며, 공사기간을 단축시키기 위해 도포시공에 따른 수작업으로 많은 인력의 투입이 불가피한 실정이다.

또한 방수재 도포시공 후 도막재는 성능발현을 위한 방수층 형성시 전조와 경화라는 과정을 거치게 되며 이는 방수시공 후 이어지는 후속 공정으로까지 공기가 지연되 시간적 및 경제적으로 많은 어려움이 따르고 있다.



사진 2. 수작업 및 경화불량

2.3 균질한 방수층 시공품질의 확보 곤란

콘크리트 구조물의 방수 공사시 기존의 도막 방수재는 그 방수층 형성에 있어 수평면, 수직면 및 급경사면 곡면과 같은 시공조건이 까다로운 상황에서 방수층의 두께가 균질하지 못하여 방수층이 얇게 도포된 경우 파단되거나, 작은 충격에도 찢겨져 방수성능을 유지할 수 없게 되며, 방수 공사시 발생될 수 있는 보행으로 인한 마모, 물체의 낙하 등에 의하여 방수층이 손상될 경우, 누수의 주요 원인이 되고 있다.



사진 3. 균질한 방수층 형성의 어려움

2.4 저온환경 및 바탕면 불량하에서의 시공성 저하

저온 환경하에서의 콘크리트 구조물 방수공사시 방수재료가 물에 분산된 상태, 즉 애멀젼이나 프라이머 등 물이 증발하여 방수층이 형성되는 타입의 것은 저온환경에서 소기의 성능을 얻을 수 없거나 동결된 경우는 그 후 온도가 상승하더라도 다시 피막을 형성하지 못하게 된다. 또한 시트방수의 경우 그 타입에 따라 다르지만 수용성 프라이머 사용과 자작식 성분에 의해 바탕면에 부착되는 경우 이 재료들 역시 저온 환경하에서 그 부착성능이 현저하게 떨어진다. 이에 따라 방수재 시공자는 시공하는 계절을 미리 고려하여 반응속도를 조정하는 경우가 많은데 일반적으로 0°C 이하가 되면 반응이 일어나지 않아 5°C를 방수시공의 한계로 두고 있다.

또한 콘크리트 구조물에 방수층 형성시 바탕면 부위에는 콘크리트 타설에 의한 레이턴스층과 물 또는 물에 수반된 미립토사 등 콘크리트 바탕에 방수재의 부착을 방해하는 이물질이

고착되어 방수층의 부착성능이 떨어져 방수재 도포시 레이턴스 제거와 바탕의 정리에 있어 많은 어려움이 따르고 있다.

3. 스프레이식 고점착 변성 고무 아스팔트계 도막 방수재의 특성

본 스프레이식 고점착 변성 고무 아스팔트계 도막 방수재의 특징은 아래 그림 1의 개념도와 같으며 세부적으로는 크게 다음과 같다.

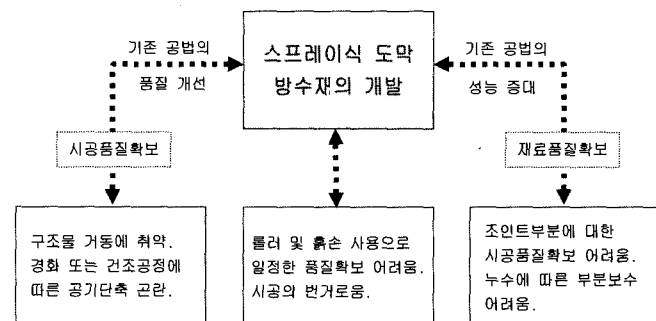


그림 1. 스프레이식 고점착 변성 고무 아스팔트 도막 방수재의 개발

3.1 방수성능 확보

본 스프레이식 고점착 변성 고무 아스팔트계 도막 방수재는 콘크리트 바탕위 강한 스프레이에 의한 압력으로 안정적인 도막 방수층을 형성하는 특징을 가지고 있다.

이러한 특성으로 인하여 다음과 같은 효과를 얻게 된다.

- 습윤환경 및 레이턴스와 같은 이물질이 존재하는 환경에서의 부착성능의 향상
- 방수층의 높은 점성과 유연성으로 인하여 온도변화, 진동 및 충격의 영향에 대한 안정성이 우수하며, 방수층의 손상 및 들뜸을 최소화하여 방수층의 품질 성능 증대

3.2 시공성 확보

현장에서 수직면 및 급경사면, 곡면과 같이 시공조건이 까다로운 상황에서도 한번의 시공으로 소정의 도막두께가 확보될 수 있다.

또한 뿐만 아니라 시공에 의한 속경화성으로 벽면이나 천장 시공시 흘러내리는 현상에 따른 도막두께가 변화되는 문제가 없으므로 방수층의 품질확보의 신뢰도가 높다.

특히 시공 후 방수층의 경화 또는 건조공정이 요구되지 않아 공기 단축에 효과적이며, 간단한 교육만 받으면 누구나 사용할 수 있어 기능공의 숙련도에 따른 품질편차가 크지 않아 품질의 균일성을 확보할 수 있는 장점이 있다.

3.3 자원 재활용

본 스프레이식 고점착 변성 고무 아스팔트계 도막 방수재는 환경 공해물질로 그 처리에 한계점을 드러내고 있는 폐타이어

분말을 재활용하는 기술이다.

이러한 기술적 과정은 환경 친화적이며, 재료의 생산원가를 저감할 수 있는 특징을 가지고 있다.

3.4 경제성 확보

본 스프레이식의 도막 방수재는 기존의 롤러 및 흙손의 시공이 아닌 스프레이식의 장비 사용으로 한정된 시간과 인력으로 보다 넓은 면적의 시공이 가능한 장점을 가지고 있다.

특히 장비의 사용에 있어서도 간단한 교육으로 손쉽게 사용 방법을 익힐 수 있는 장점도 가지고 있다. 또한, 한번의 시공으로 소정의 도막 두께를 확보할 수 있어 기존 공법에 비해 공사 기간의 단축 및 적은 인력의 투입으로 인하여 공사비 절감을 기대할 수 있는 이점이 있는 기술이다.

4. 스프레이식 고점착 변성 고무 아스팔트계 도막 방수재의 원리

스프레이식 고점착 변성 고무 아스팔트계 도막 방수재는 다음의 그림 2와 같이 고무 아스팔트 + 페타이어 + 점도조정제 + 유제 + 개질재 등을 분산하여 제조된 도막 방수재로 간편한 가열방식에 의한 스프레이식 방수재료이다.



그림 2. 방수층 구성 성분 분석

4.1 방수층 형성 과정

본 연구의 스프레이식 고점착 변성 고무 아스팔트계 도막 방수재는 개질 아스팔트를 용융하여 그림 3과 같이 고온, 고압의 스프레이 장비를 이용해서 뿜칠 시공되며, 바탕면에 닿는 순간 경화하여 도막층을 형성하게 된다.

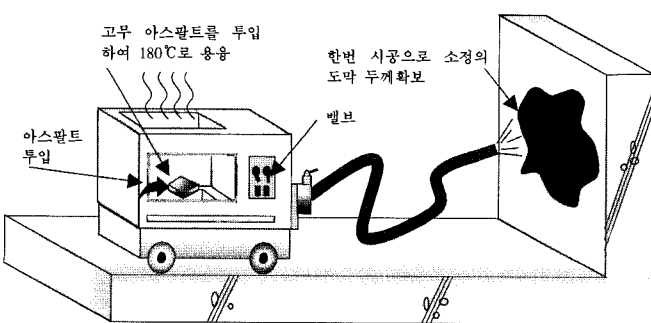


그림 3. 스프레이식 도막 방수재 시공 개념도

4.2 바탕면 부착 메카니즘 분석

스프레이식 고점착 변성 고무 아스팔트계 도막 방수재는 다음의 사진 4와 같이 수직면 및 급경사면, 곡면, 습윤면 등 열악한 바탕환경에서의 도막시공이 가능하다는 장점과 99.9%의 고형분으로 스프레이에 의한 1회 시공으로 바탕면에 소정의 도막층이 형성된다.

또한, 스프레이 직 후 경화가 진행되는 속경화성으로 인하여 벽면이나 천장부의 수직면 시공시 훌러내리는 현상이나 도막재의 두께 감소 현상이 발생하지 않아 도막방수층의 품질을 균일하게 확보할 수 있다.

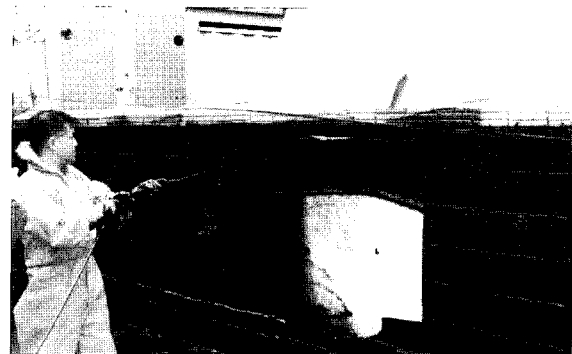


사진 4. 방수재료 스프레이 시공현황

또한 고온, 고압에 의한 스프레이 공법은 기존의 롤러나 봇에 의한 시공방법에 비하여 그림 5와 같이 바탕면과의 부착성이 한층 더 개선될 것으로 사료된다.

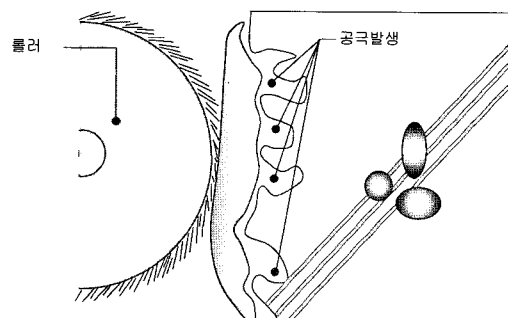


그림 4. 기존 방수공법(롤러사용)

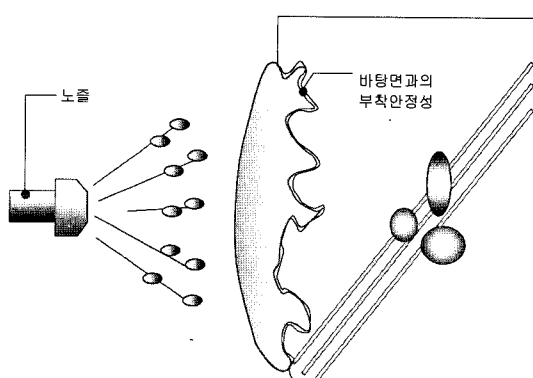


그림 5. 스프레이 시공에 의한 바탕면과의 부착성

5. 스프레이식 고점착 변성 고무 아스팔트계 도막방수재의 성능평가

본 장에서는 스프레이식 고점착 변성 고무 아스팔트계 도막방수재에 대한 성능평가로써, 총 10가지 시험항목에 따라 시험 평가하여 방수성능을 검토하였다.

5.1 개요

스프레이식 고점착 변성 고무 아스팔트계 도막방수재의 성능평가에 관한 시험항목은 다음의 표 1과 같이 고형분 측정, 온도별 훌러내림 저항성능, 저온굽힘저항성능, 수증유실저항성능, 내화학성능, 부착성능, 투수저항성능, 온도의존성능, 인장성능, 내후성능에 대하여 평가하였으며, 관련규격은 KS F 3211, 4935에 의하여 시험하였다.

표 1. 성능시험 항목

구분	시험항목	내용	관련 규격
고무아스팔트계 도막방수재	고형분 측정	눈금병에 시료을 채우고 105°C~110°C 건조기에 3시간 정차 후 측정	KS F 3211 KS F 4935
	온도별 훌러내림 저항성능시험	온도 40°C, 60°C, 80°C 24시간 정차 후 훌러내림 여부 관찰	
	저온굽힘 저항성능시험	-20°C에 24시간 정차 후 180° 도 구부림	
	수증유실 저항성능시험	-20m/sec의 유속으로 48시간 정차후 측정	
	내화학 성능시험	황산, 질산, 염산, 알칼리, 염화나트륨에 168시간 침적 후 중량변화 측정	
	부착성능 시험	Ø 10×3cm 시험체의 부착여부 측정	
	투수저항 성능시험	Ø 10×30mm 원형 시험체에 3kgf/cm ² 수압을 1시간 가한 후 관찰	
	온도의존 성능시험	-20°C, 60°C의 온도에서 총 20cycle시험 후 투수저항성능 시험	
	인장성능 시험	물림간격 100mm, 인장속도 100mm/min로 하여 도막재에 관한 인장강도 및 신장률 측정	
	내후성 시험	옥외 노출 환경에서의 도막재 도포 후 60일, 90일, 120일, 150일 180일 경과 후 표면관찰	KS F 3211

5.2 고형분 측정

고형분 측정 시험은 다음의 사진 5와 같이 KS F 3211의 시험방법에서 눈금병 60mm에 시료를 밀실하게 채운 후 온도 105°C~110°C로 유지한 열풍 건조기에 넣어 3시간 가열한 다음 데시케이터(실리카겔 또는 염화칼슘을 넣은 것)속에서 실온까지 냉각한 후 다시 질량을 측정하여 눈금병 속의 잔량을 구해 시험전의 중량과 시험후의 중량을 비교하여 산출한다.

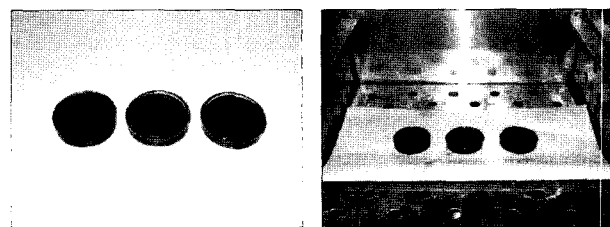


사진 5. 고형분 측정 시험

고형분 측정 시험결과 다음의 표 2와 같이 뽐칠형이라는 공법 특성상에도 99.9%라는 높은 고형분을 나타내어 현장에서의 방수 시공시 한번의 시공으로 방수층의 도막두께 확보가 가능하며, 이에 따른 공기단축 및 공사비 절감으로 이어질 것으로 판단된다.

표 2. 고형분 측정 결과

순서	시험 전	시험 후	고형분(%)	비고
1	42.051	42.041	99.9	
2	41.224	41.215	99.9	
3	42.143	42.131	99.9	
평균	41.806	41.796	99.9	

5.3 온도별 훌러내림 저항성능 시험

두께 5mm의 플렉시블판을 길이 400mm, 나비 200mm로 절단 그 위 길이 340mm, 나비 180mm로 시료를 도포하며, 재료 도포시 형틀의 구석까지 재료가 펴질수 있도록 밀실하게 도포한다. 1시간 정차 후 형틀을 제거하고 시험체를 수직으로 유지하여 사진 6과 같이 시험온도 40°C, 60°C, 80°C에서 시험체를 90°로 세워 24시간 정차한다. 시험결과는 시료의 훌러내린 길이를 길이 측정기를 사용하여 측정하고 도막의 주름 발생 유무를 관찰한다.

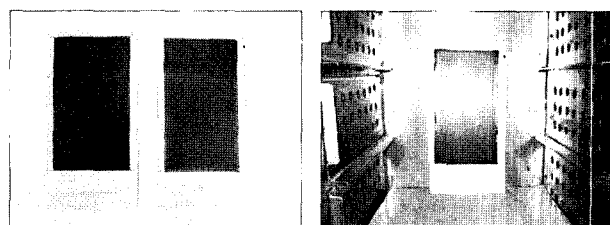


사진 6. 온도별 훌러내림 저항성능 시험

시험결과 온도 40°C, 60°C, 80°C에서는 아무런 이상이 없었으며, 90°C에서 20시간 정차시 도막재 표면에 미세한 주름과 부풀음이 발생되었으며, 110°C에서 22시간 정차시 아스팔트유분이 훌러내려왔지만 KS F 4935기준인 60°C의 온도를 만족하였기에 이상 없다고 판단되며, 공법상 뽐칠형에도 불구하고 고형분이 높아 재료들간의 응집력 있는 것으로 판단된다.

5.4 저온굽힘 저항성능 시험

120mm×400mm×6mm의 플렉시블판을 중앙부에서 약 4mm로 절단한 것을 사용하며, 시료 도포한 후 양생이 끝날 때까지 기다린 후 바탕판의 홈을 조건 시험체를 양생조의 온도가 20±2°C인 피로 시험기에 고정시켜 1시간 정차하는

-20°C의 저온 챔버에 24시간 정차시킨 후 꺼내어 10분안에 시험체를 180° 굽혀 저온에서의 찢김, 파단 등의 표면 상태의 유무를 확인한다.

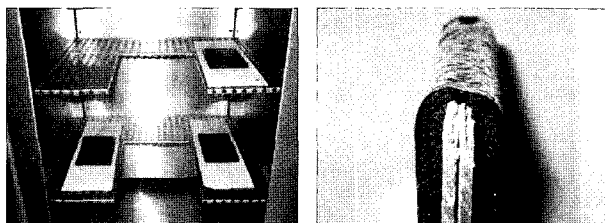


사진 7. 저온 굽힘 저항성능 시험

시험결과 -20°C에서의 환경하에서도 뾰黜형 도막 방수재는 찢김, 파단 등의 파손이 발생되지 않았다. 그러므로 동절기 현장 적용시 가해질 수 있는 외력에 의해서 찢김 또는 파단 등이 발생될 가능성이 매우 적을 것으로 사료된다.

5.5 수중 유실 저항성능 시험

시험체는 그림 6과 같이 대기중에서 직경 100mm×높이 10mm의 플라스틱 샤일레에 방수셀을 주입한 것으로 한다. 시험이 준비되면 유속시험 가능한 시험기를 이용하여 0.2m/s의 유속으로 48시간 동안 유지한 후 유실정도를 측정한다.

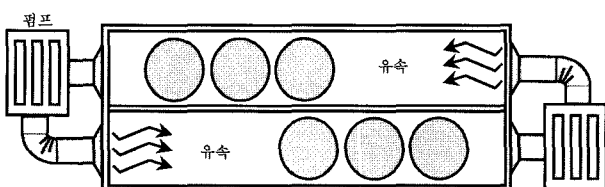


그림 6. 수중 유실 저항성능 모식도

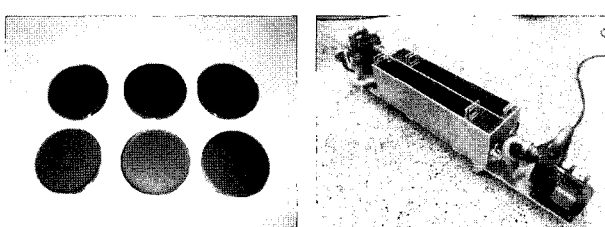


사진 8. 수중 유실 저항성능 시험

방수재 주입시 샤일레의 내부 및 윗면까지 평평하고 완전하게 충진되도록 하며, 시험체의 개수는 총 6개로 시험한다.

수중 유실 저항성능 시험결과 표 3과 같이 유속에 의해 시편에서 탈락되는 방수셀의 양은 거의 없었다. 이러한 평가로부터 본 재료는 물과의 반응을 하면서도 시편의 접착성, 재료의 점도를 유지하고 있었기 때문에 지하구조물의 외벽에 지하수가 흐르더라도 재료가 유실되지 않고 구체에 양호하게 접착되어 장기적으로 방수기능을 보유할 수 있을 것으로 판단된다.

표 3. 수중 유실 저항성능 시험결과

순서	시험 전	시험 후	질량 차	중량변화율(%)
1	82.056	82.076	0.020	0.024
2	70.870	70.892	0.022	0.031
3	77.163	77.188	0.025	0.032
4	88.668	88.686	0.018	0.020
5	84.836	84.852	0.016	0.019
6	80.579	80.601	0.022	0.027
평균	80.543	80.564	0.021	0.026

※ 유실 저항성 성능기준 : 중량 변화율이 -0.1% 이내 일 것

※ 중량변화율이 증가한 것은 실링재의 특성이므로 KS F 4935에서 규정하는 규격에 합격한 것임.

5.6 내화학성능 시험

표 4. 내화학성능 시험결과

구 분	순서	시험 전	시험 후	중량 변화율(%)	비 고
황 산	1	34.231	34.237	0.017	
	2	35.645	35.650	0.014	
	3	35.239	35.245	0.017	
	평균	35.038	35.044	0.017	
산 처 리	1	38.946	38.955	0.023	
	2	31.580	31.588	0.024	
	3	32.124	32.132	0.025	
	평균	34.217	34.225	0.024	
질 산	1	39.452	39.466	0.035	
	2	35.014	35.026	0.034	
	3	35.126	35.138	0.034	
	평균	36.531	36.543	0.034	
염화나 트륨처 리	1	33.845	33.853	0.024	
	2	36.943	36.950	0.019	
	3	34.658	34.667	0.026	
	평균	35.149	35.157	0.023	
알칼리 처리	1	34.869	34.892	0.066	
	2	34.785	34.805	0.057	
	3	39.254	39.373	0.030	
	평균	36.303	36.357	0.051	

본 시험 방법은 KS F 4935(누수보수용 주입형 실링재)에 의거하여 Ø65×10mm의 샤일레에 도막재를 주입하여 온도 20±3°C, 상대습도 65±5%의 상태에서 3일간 정차하며, 각각 성형된 시험체는 황산(2%), 염산(2%), 질산(2%), 수산화나트륨(0.1%) 후 수산화칼슘(포화상태), 염화나트륨(10%) 용액 속에 168시간 침적시켜 중량변화를 체크하고 그 상태를 확인한다.

시험결과 황산 0.017%, 염산 0.024%, 질산 0.034%, 염화나트륨 0.023%, 알칼리 0.051%로 이는 KS F 4935 “누수보수용 주입형 실링재”에서 규정하고 있는 -0.1%의 시험기준을 만족하고 있다. 내화학성능 시험에 따른 중량 측정시 모든 시험체의 중량이 증가한 것은 실링재의 특성이므로 KS기준에 합격한 것이며, 지하구조물 적용에 있어 주변의 토양과 지하수에 혼입되

어있는 산, 알칼리, 염수 등의 화학적 물질과 콘크리트에서 용출되는 수산화칼슘 등 현장 적용에 의한 화학적 침식시 구조물을 보호할 수 있는 내구성을 가지고 있다고 판단된다.

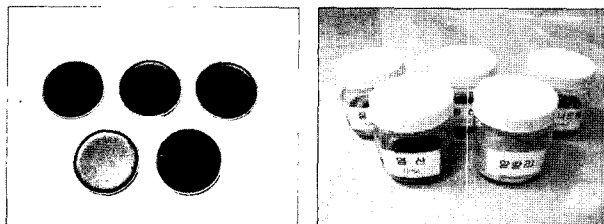


사진 9. 내화학성능 시험

5.7 부착성능 시험

본 시험은 KS F 4935(누수보수용 주입형 실링재)에 의거한 본시험 상판 및 하판의 시험체는 $\varnothing 100 \times 30\text{mm}$ 의 모르타르 시편을 사용하며, 시험체 밑판 위의 3개소에 직경 $5\text{mm} \times$ 높이 10mm 의 간격재를 에폭시 본드로 부착하여 시험체에 설치한다.

간격재를 부착한 시험체 밑판의 무게가 $600 \pm 5\text{g}$ 이 되도록 조정하며 상온 $20 \pm 2^\circ\text{C}$ 의 상태에서 방수씰을 주입하며, 대기중에서 24시간 정지한 후 시험체 상판을 들고 그 순간부터 시험체 밑판이 탈락할 때까지의 시간을 측정한다.

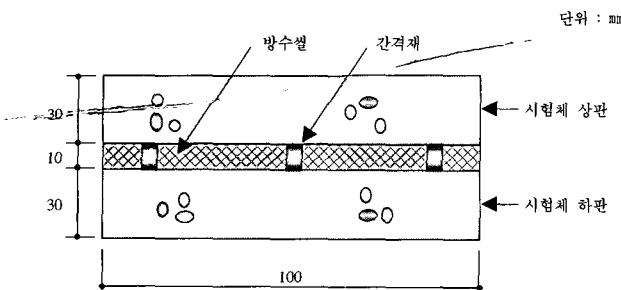


그림 7. 부착성능 시험 모식도



사진 10. 부착성능 시험 장면

본 방수씰에 대한 부착력을 평가한 결과 시험기준인 KS F 4935에서 규정하는 기준(60초이상)에 합격함으로써 현장 적용에 있어서 그 부착성이 적정할 것으로 판단된다.

5.8 투수 저항성능 시험

양생이 끝난 시험체 하부에 지름 3mm 구멍을 9개 뚫고, 하부 투수시험편 위에 구멍이 뚫리지 않은 $\varnothing 100 \times 30\text{mm}$ 의 모르타르 판(상부 투수 시험편)을 올려 놓을 수 있도록 $15 \times 10\text{mm}$ 의 강재 간격재를 에폭시 수지 접착제를 사용하여 3개소에 설치한다.

온도 $20 \pm 2^\circ\text{C}$ 의 대기중에서 투수 시험편에 실링재를 주입하여 24시간 후 KS F 4919에서 규정하는 투수 시험장치를 이용한 시험을 할 수 있도록 수조를 씻워 $3\text{kgf}/\text{mm}^2$ 의 수압을 1시간 동안 가한 후 투수 시험을 하여 재료에 대한 투수 유무를 확인한다.

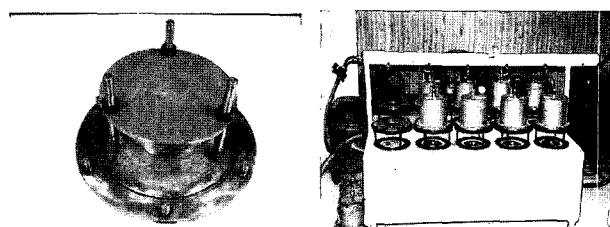


사진 11. 투수저항 성능시험

시험결과 투수가 되지 않았으며, 이는 공기암에 의해 유입수가 도막재를 바탕면에 강하게 부착시키며, 재료 상호간에 접착력이 발생하여 시간이 지나면서 상호간에 강한 밀착으로 인해 투수가 되는 것을 방지하는 원리에 기인된다고 판단된다. 또한 재료 자체의 접성이 있어서 별도의 프라이머나 부착재를 사용하지 않아도 타 재료에 밀착되고 압력에 의하여 일체화가 되는 특성이 확인되었다.

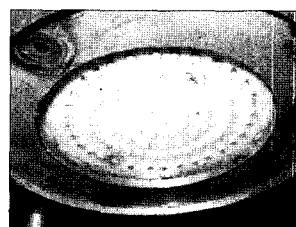


사진 12. 투수 시험 전



사진 13. 투수 시험 후

5.9 온도 의존성능 시험

본 시험방법은 KS F 4935(누수 보수용 주입형 실링재)에 의거하여 투수 성능 시험과 동일하게 시험체를 제작한 다음 $-20 \pm 1^\circ\text{C}$, $60 \pm 1^\circ\text{C}$ 의 온도 조절이 가능한 챔버에 넣어 20cycle 을 시험한다. 그 후 투수저항 성능과 동일하게 시험을 실시한다. 단, 1사이클은 20°C 에서 60°C 로 올리는 데 1시간, 60°C 에서 10시간 유지, 60°C 에서 -20°C 로 내리는 데 2시간, -20°C 에서 2 0°C 로 올리는 데 1시간 정차시킨 것으로 한다.

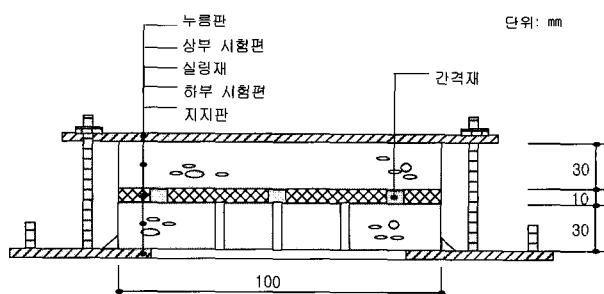


그림 8. 온도 의존 성능에 따른 투수저항성능 시험체 내부 모식도

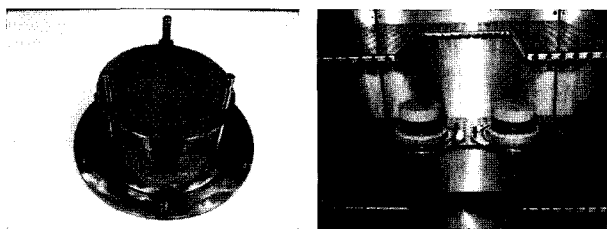


사진 14. 온도 의존성능 시험

본 온도의존성능 시험결과 다음의 표 5와 같이 시험체 모두 $-20 \pm 1^{\circ}\text{C}$ 및 $60 \pm 1^{\circ}\text{C}$ 의 반복되는 온도 환경하에서 투수가 되지 않았다. 이러한 결과는 도막재가 저온 및 고온에 대한 점착 안정성을 가지며, 시험시 공기압에 의해 유입수가 도막재를 바탕면에 강하게 부착하고, 재료 상호간에 점착력이 발생하여 시간이 지나면서 상호간에 강한 밀착으로 인해 투수가 되는 것을 방지하는 원리에 기인한다고 판단된다. 또한 재료 자체의 점성이 있어서 별도의 프라이머나 부착제를 사용하지 않아도 타 재료에 밀착되고 압력에 의하여 일체화가 되는 특성이 확인되었다.

표 5. 온도 의존성능 시험결과

순서	투수여부	성능기준	비고
1	투수되지 않음	투수되지 않을 것	
2	투수되지 않음		
3	투수되지 않음		
평균	투수되지 않음		

5.10 인장성능 시험

용융시킨 도막재를 형틀의 양끝단부에 부직포를 대어 준비된 형틀에 흘려 넣어 성형된 $200\text{mm} \times 50\text{mm} \times 5\text{mm}$ 의 시험편을 표준상태에 4시간 이상 정치한 후, U.T.M 만능 재료 시험기에 시험편을 물림간 거리 100mm 로 하여 설치하고 $100\text{mm}/\text{min}$ 의 인장속도로 시험편이 파단될 때까지 인장한다. 또한, 인장강도는 5개의 시험편 중 최고값과 최저값을 제외한 3개의 평균값으로 나타낸다.

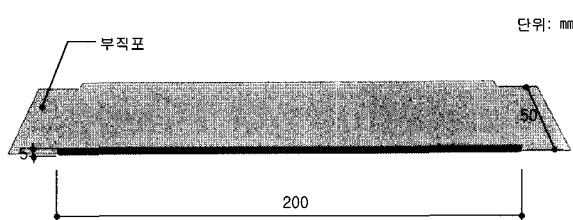


그림 9. 인장성능 시험편 모양 및 치수

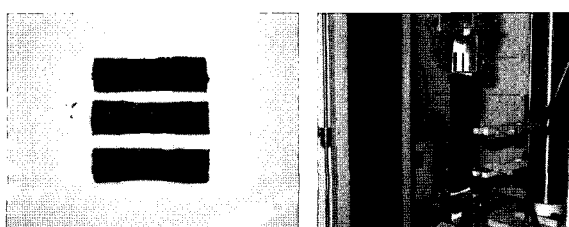


사진 15. 인장성능 시험

본 도막재에 대한 인장성능 시험결과 다음의 표 6과 같이 인장강도 $1.7\text{N}/\text{cm}^2$, 신장을 160%로 본 도막재는 스프레이식의 특성에도 보다나은 물성을 지닌 재료로써, 방수 시공시 상온 환경하에서 바탕 콘크리트 거동에 대한 방수재의 신장 성능을 기대 할 수 있을 것으로 판단된다.

표 6. 인장성능 시험결과

순서	시험결과 (N/cm^2)	신장을 (%)	비고
1	1.7	160	
2	1.8	158	
3	1.7	161	
평균	1.7	160	

5.11 내후성 시험

본 내후성 시험은 $1500\text{mm} \times 1500\text{mm} \times 1500\text{mm}$ 의 실제 구조물과 같은 콘크리트 시험체를 옥외에 설치한 후 뿔뿔형 도막 방수재를 시공한다 그 후 60일, 90일, 120일, 150일, 180일동안 자연환경(자외선, 비, 바람)에 정치시킨 후 찢김, 파단, 부풀음 등의 표면상태를 관찰한다.



사진 16. 내후성 시험

다음의 사진 16과 같이 표면상태를 확인한 결과 최소 180일 이상의 자연 쪽로 조건에서도 표면에 주름이나, 부풀음, 파단 등이 나타나지 않아 외부 노출에 의한 현장시공시 보다 나은 성능을 유지할 수 있을 것으로 판단된다.

본 스프레이식 고무 아스팔트계 도막 방수재는 실제적으로는 비노출 형태로 적용되므로 비노출에 의한 현장 적용시 장기적인 내구성을 유지할 것으로 판단된다.

6. 결 론

방수가 필요한 각종 콘크리트 구조체와 기존 방수층은 항상 물이나 습기에 영향을 받는 습윤환경으로 이루어져 있으며, 특히 콘크리트 바탕면은 물과 함께 각종 이물질(미립토사, 이끼, 알칼리 유출물) 등이 고착되어 있다.

그러나 현재 사용되고 있는 방수재료 중 우레탄계, 에폭시계, 시트계는 대부분, 앞에서 전술한 습윤 환경 조건하에서의 콘크리트 표면에 부착되어 경화하는 형식으로 접착 되는 특성을 공통적으로 가지고 있지만, 재료적 특성상 습윤 조건일 경우는 접착이 이루어지지 않기 때문에 바탕 표면이 완전히 건조

될 때까지의 시간이 요구되고, 어느 정도 건조 후 방수재가 시공되었다 하더라도 완전부착이 되지 않아 시간이 경과됨에 따라 박리되어 누수가 발생하게 되는 원인이 되고 있다.

따라서 본 연구에서 스프레이식 방수재료는 기존 방수재료 및 공법에서 가지고 있지 않는 뿐만 시공성, 열경화성은 물론 점착성, 유연성 등의 우수한 특성으로 인하여 방수 바탕면의 요철 및 습기에 관계없이 방수층의 형성이 가능하다는 특성을 가지고 있다.

이러한 특성으로 인하여 방수공사에 있어서 공정의 단축, 인력절감에 의한 공사비용의 절약은 물론, 방수층의 품질, 안정성 및 내구성을 확보할 수 있어 그 활용가능성이 크게 기대된다고 판단된다.

참 고 문 헌

1. 콘크리트 구조물의 누수와 대처 방안에 대한 견해 오상근, 한국콘크리트학회지 제 14권 6호 2002. 11
2. 콘크리트 구조물의 방수 및 누수 보수 기술의 새로운 접근, 장혁수, 오상근 한국구조물 진단학회 제3권 제2호, 1999. 4
3. 실무자를 위한 방수공사 매뉴얼, 현대건설 기술연구소, 전설도서, 2003
4. Waterproofing-the Building Envelope-(Michael T Kubal, McGraw Hill, 1993)
5. Waterproofing Concrete Foundations(The Aberdeen Group, 1999)
6. 建築工事標準仕様書 同解説 JASS 8 防水工事 (日本建築學會, 2002)
7. 地下防水の決め手—地下防水の設計と施工-(建築技術, (株)建築技術, 1992. 9)
8. 地下水處理孔の事例(鈴木晋彦, 東洋書店, 1994. 7)